

1/10
HSIAO et al.
HIT1P067/HSJ9-2003-0277US1 (LN)

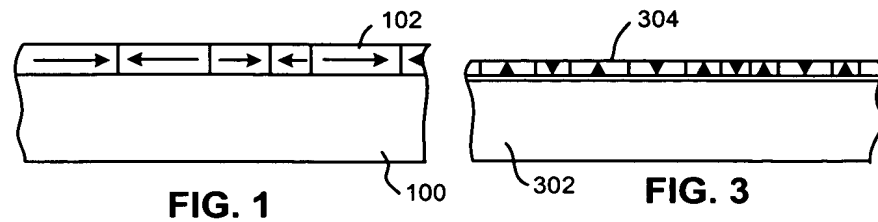


FIG. 1

FIG. 3

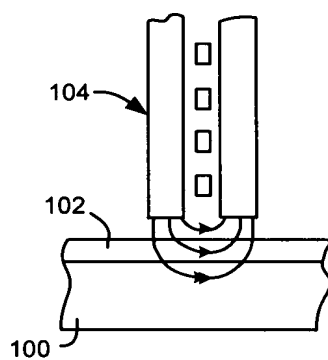


FIG. 2

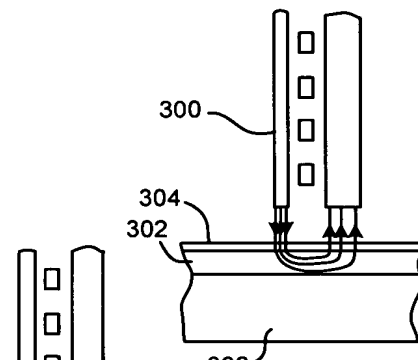


FIG. 4

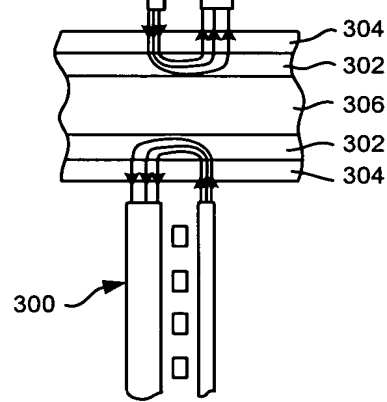


FIG. 5



2/10
HSIAO et al.
HIT1P067/HSJ9-2003-0277US1 (LN)

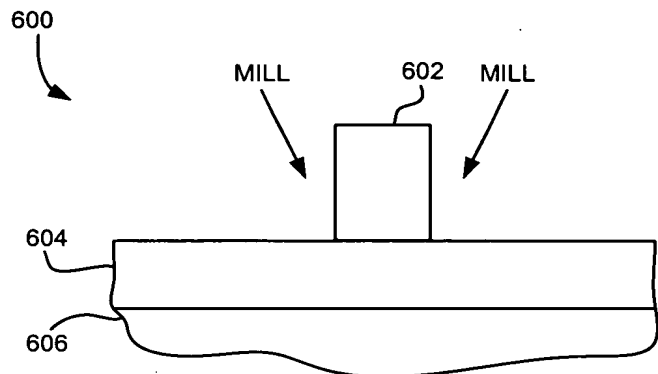


FIG. 6

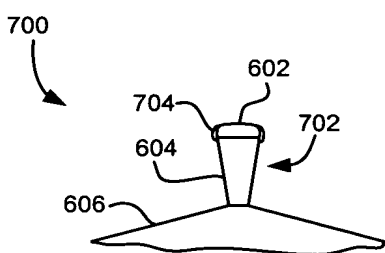


FIG. 7



3/10
HSIAO et al.
HIT1P067/HSJ9-2003-0277US1 (LN)

+

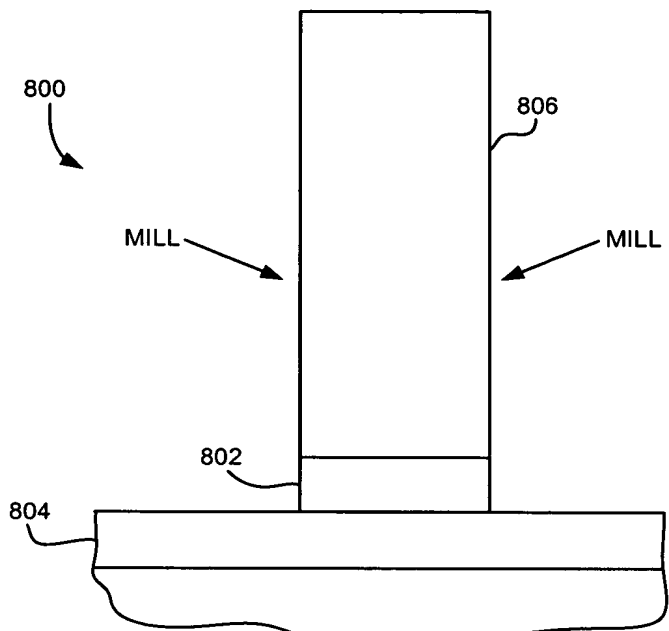


FIG. 8

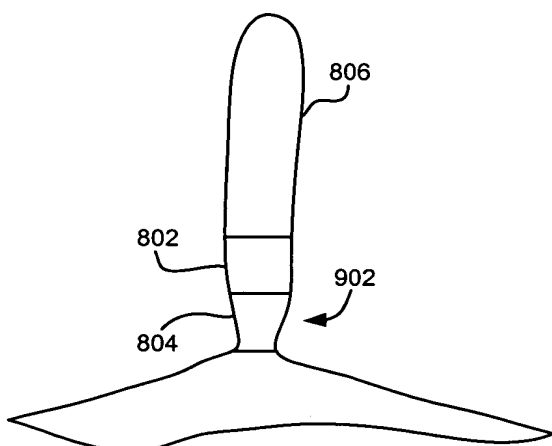


FIG. 9

+

4/10
HSIAO et al.
HIT1P067/HSJ9-2003-0277US1 (LN)

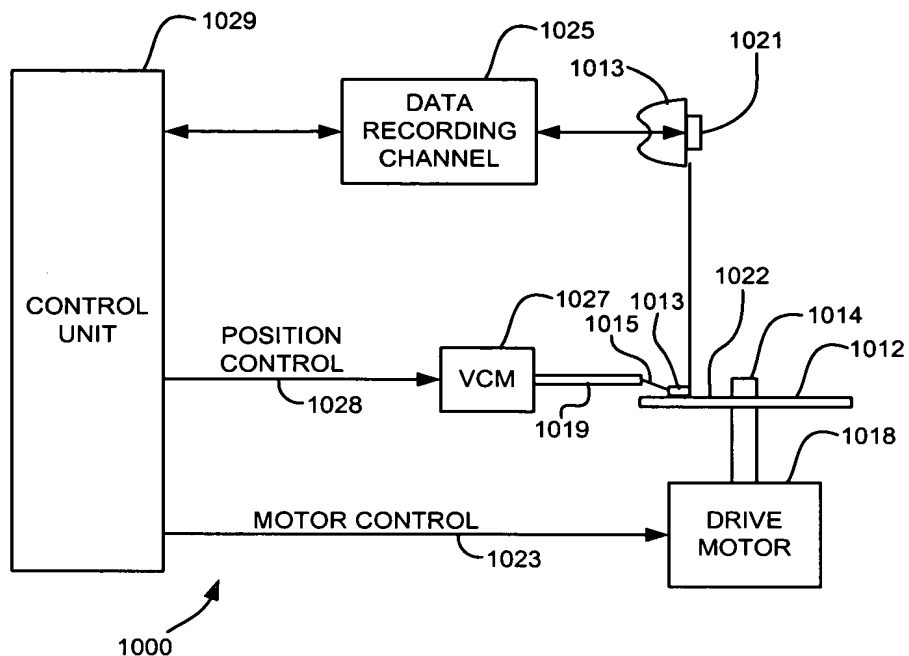


FIG. 10

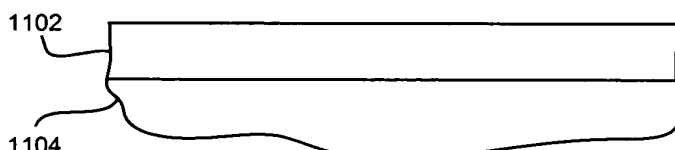


FIG. 11



5/10
HSIAO et al.
HIT1P067/HSJ9-2003-0277US1 (LN)

+

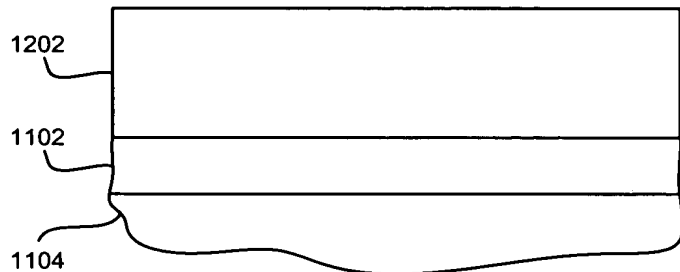


FIG. 12

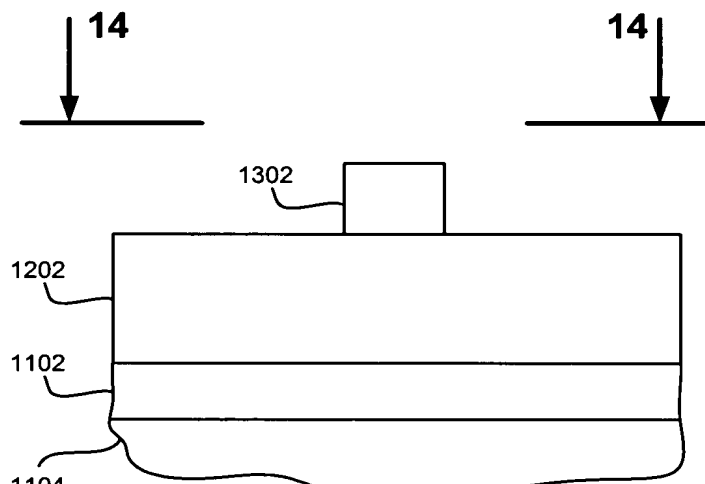


FIG. 13

+

6/10
HSIAO et al.
HIT1P067/HSJ9-2003-0277US1 (LN)

+

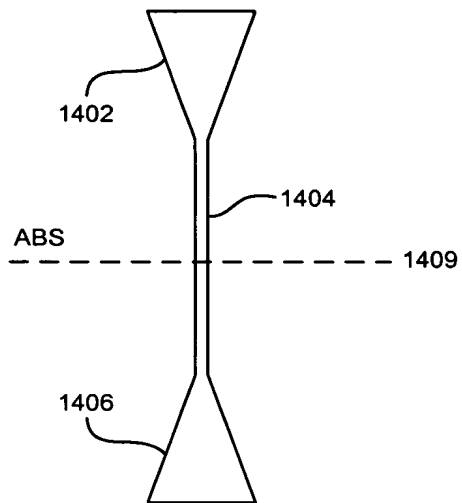


FIG. 14

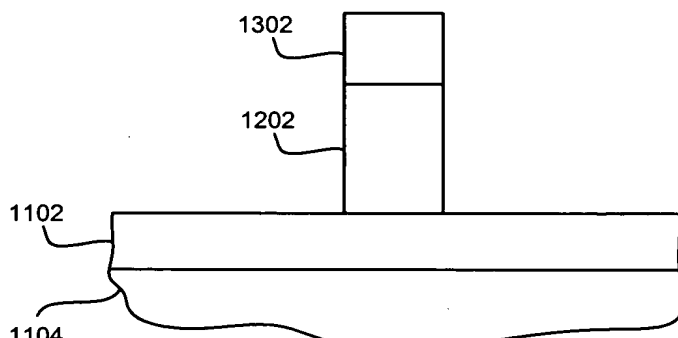


FIG. 15

+

7/10
HSIAO et al.
HIT1P067/HSJ9-2003-0277US1 (LN)

+

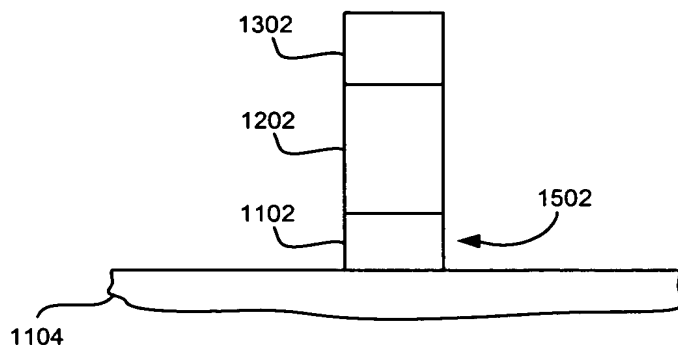


FIG. 16



FIG. 17

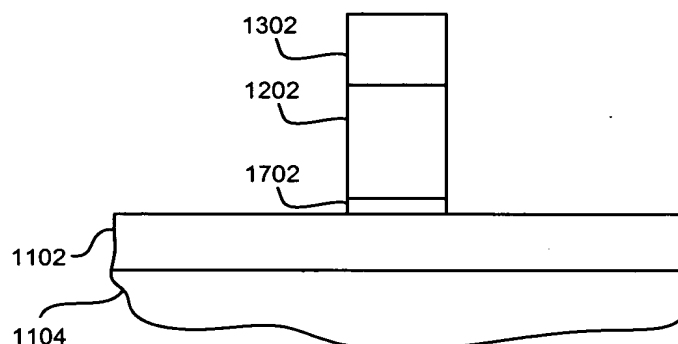


FIG. 18

+

8/10
HSIAO et al.
HIT1P067/HSJ9-2003-0277US1 (LN)

+

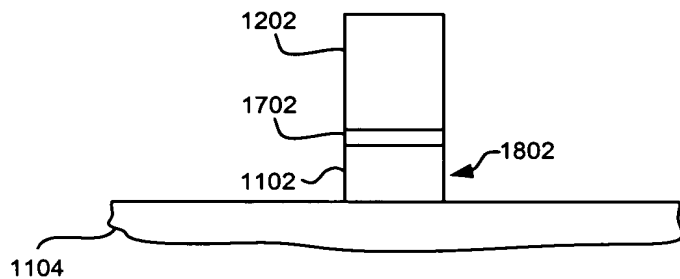


FIG. 19

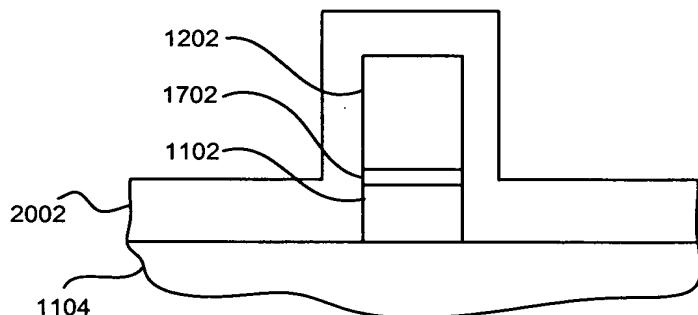


FIG. 20

+

9/10
HSIAO et al.
HIT1P067/HSJ9-2003-0277US1 (LN)

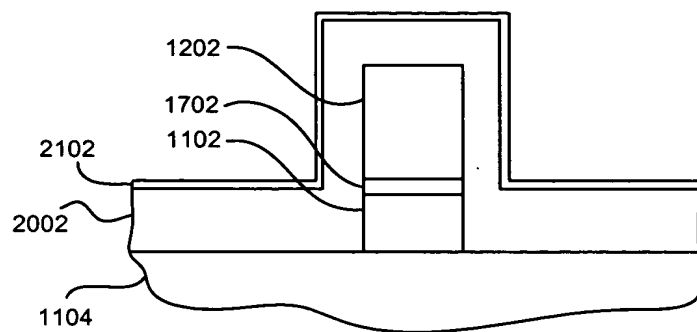


FIG. 21

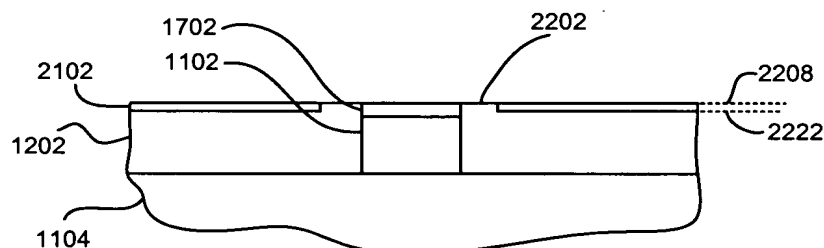


FIG. 22



+

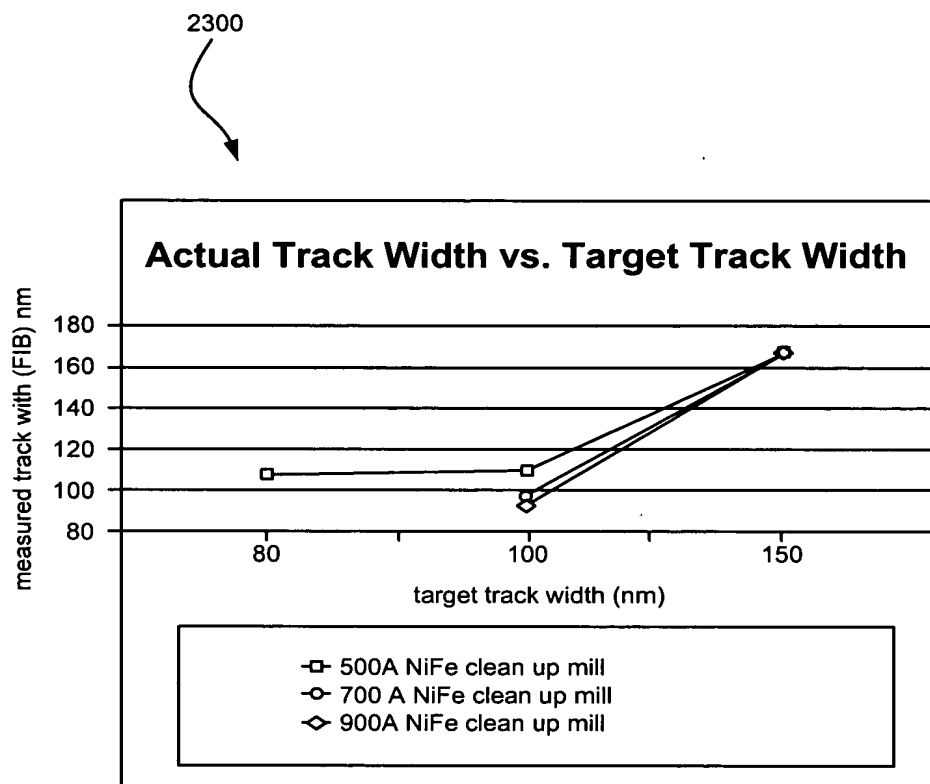


FIG. 23

+